

7.3. Инверторы тока

7.3.1. Однофазный инвертор тока на полностью управляемых ключах

Принципиальное различие между схемами инверторов тока и напряжения было кратко рассмотрено в § 7.1. Отметим дуальный характер этих схем: фазные токи одного типа инвертора подобны фазным напряжениям другого. Это свойство указанных типов инверторов позволяет более ясно понять электромагнитные процессы, протекающие в этих схемах, их характеристики и методы управления выходным напряжением. На рис. 7.16, *a* приведена схема однофазного транзисторного инвертора тока, работающего на емкостную нагрузку.

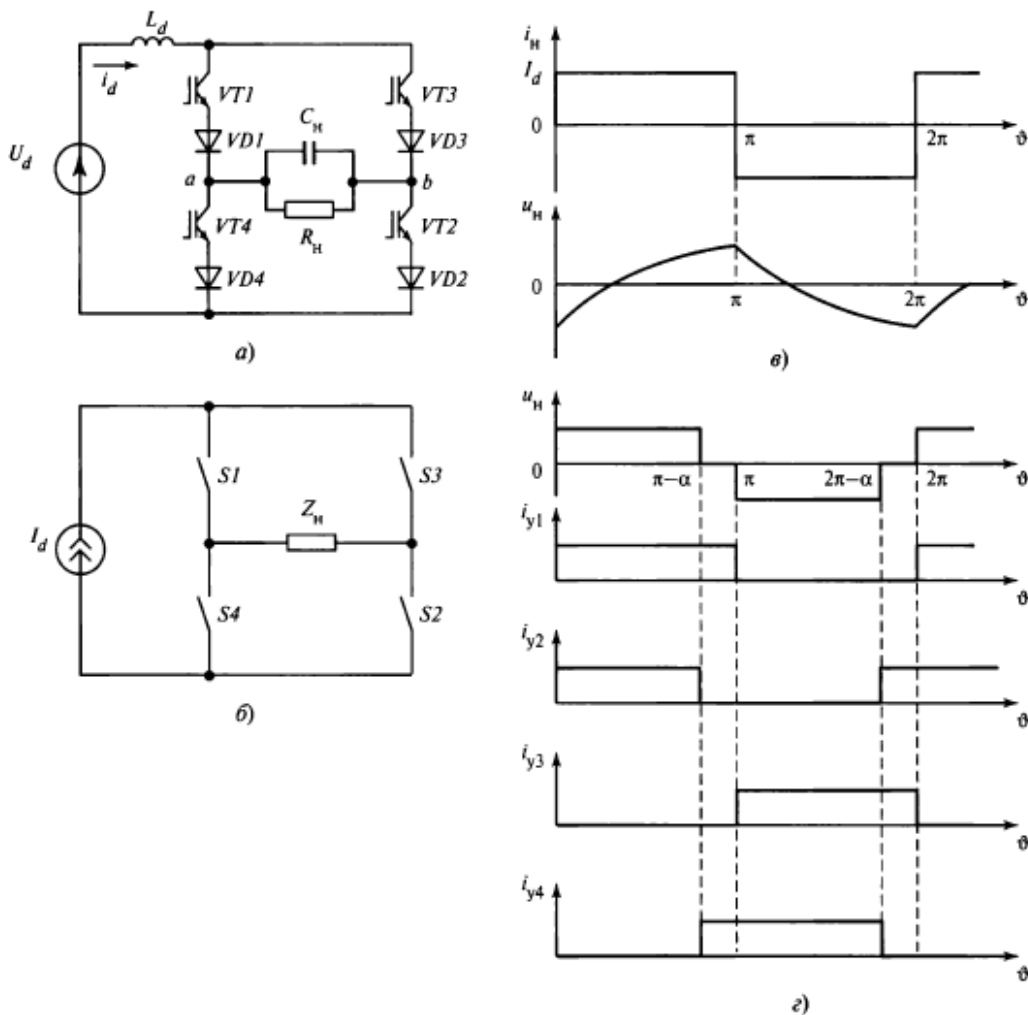


Рис. 7.16. Однофазный инвертор тока на транзисторах:
а — диаграммы тока и напряжения нагрузки; б — схема замещения; в — диаграммы тока нагрузки и импульсов управления при формировании нулевой паузы тока; г — диаграммы напряжения и тока

Внешними отличительными признаками схем инвертора тока (рис. 7.16, а) и транзисторного инвертора напряжения являются наличие реактора L_d в цепи постоянного тока, последовательное соединение транзисторов и диодов и параллельное соединение диодов с транзисторами.

Принимая допущение об идеальной сглаженности тока i_d в цепи инвертора тока, считаем индуктивное сопротивление реактора $X = \omega L_d$, где ω — частота выходного напряжения. Эта частота определяется частотой генератора импульсов системы управления инвертора. Подобные допущения принимались в гл. 5 при рассмотрении схем выпрямителей и ведомых сетью (зависимых) инверторов в установившихся режимах работы, когда в реакторе устанавливался постоянный ток I_d , значение которого не изменялось при периодических коммутациях ключей схемы инвертора, т.е. пульсация тока i_d была равна нулю. В этом случае можно считать, что на стороне постоянного тока включен источник тока I_d (рис. 7.16, б). Диоды, последовательно включенные с транзисторами, блокируют появление на транзисторах обратного напряжения, которое они не выдерживают. В результате в инверторе тока ключи S проводят только односторонний ток. В схемах инвертора напряжения диоды включены параллельно и встречно по отношению к транзисторам, что обеспечивает двунаправленную проводимость ключей для возврата энергии, накапливаемой в индуктивностях нагрузки, в источник напряжения U_d . При этом исключается появление обратного напряжения опасного значения.

Рассмотрим с учетом сделанных допущений и пояснений схему инвертора тока. Предположим, что на интервале $0—\pi$ включены ключи $S1$ и $S2$, состоящие из последовательно соединенных транзистора и диода. При этом ток нагрузки $i_h = I_d$ направлен от узла a к узлу b (рис. 7.16, в). В момент времени $\theta = \pi$ импульсы управления транзисторов i_{y1} и i_{y2} транзисторов $VT1$ и $VT2$ становятся равными нулю, а i_{y3} , i_{y4} поступают на транзисторы $VT3$ и $VT4$. Ключи $S1$ и $S2$ выключаются, а $S3$ и $S4$ включаются. При этом ток нагрузки i_h изменяет направление, становится равным $i_h = -I_d$ и поступает от узла b к узлу a цепи нагрузки. Далее через половину периода $\frac{T}{2} = \pi$ ключи $S1$, $S2$ снова включаются и проводят ток I_d , а ключи $S3$, $S4$ выключаются. Затем эти процессы периодически повторяются и в нагрузку поступает переменный ток прямоугольной формы. Этот ток создает напряжение на нагрузке, которое зависит от ее параметров. Мгновенные значения этого напряжения определяются из дифференциальных уравнений, связывающих ток и напряжение на нагрузке через ее параметры. В данном случае — это C_h и R_h . Эти уравнения будут подобны уравнениям (7.4), если учесть дуальность схем, т.е. одинаковые законы изменения напряжения и тока нагрузки инверторов, выполненных по схемам рис. 7.3, а и рис. 7.16, а:

$$\omega C_h \frac{du_h}{d\theta} + \frac{u_h}{R_h} \pm I_d = 0, \quad (7.24)$$

где знак «плюс» соответствует интервалу $\theta < \pi$, а знак «минус» — интервалу $\theta > \pi$.

В общем виде решение уравнения (7.24) можно записать в форме

$$U_H = \pm I_d R_H + A e^{-\frac{t}{\tau}}, \quad (7.25)$$

где $\tau = C_H R_H$.

Постоянная интегрирования определяется из условия непрерывности напряжения на конденсаторе C_H в моменты коммутации ключей. С учетом значения постоянной интегрирования окончательно решение уравнения имеет вид

$$U_H = \pm I_d R_H \left(1 - \frac{2e^{-\frac{t}{\tau}}}{1 + e^{-\frac{T}{2\tau}}} \right). \quad (7.26)$$

Приведенные зависимости свидетельствуют о полной дуальности рассматриваемых схем на рис. 7.3, а и 7.16, а. В то же время необходимость в конденсаторе C_H в схеме инвертора тока неочевидна, так как транзисторы являются полностью управляемыми электронными ключами. Поэтому при активной нагрузке и приведенном алгоритме управления можно обойтись без подключения конденсатора C_H , при этом функционирование схемы, на выходе которой формируются ток и напряжение прямоугольной формы, не изменится.

При осуществлении широтно-импульсного регулирования выходного напряжения или импульсной модуляции при активной нагрузке подключать конденсатор также нет необходимости. Но для того, чтобы коммутировать источник тока, следует изменить алгоритм управления ключами. Например, нулевые паузы в выходном напряжении в схеме инвертора напряжения (см. рис. 7.3, а) осуществляются переводом в проводящее состояние только двух ключей, шунтирующих нагрузку. При этом другая пара ключей выключена и закороченная нагрузка отключена от источника постоянного тока инвертора. Подробная реализация этого алгоритма представлена на рис. 7.4. При этом активно-индуктивная нагрузка шунтирована ключами инвертора и энергия, накопленная в индуктивности, не создает перенапряжений.

В инверторе тока такой алгоритм управления невозможен даже при активной нагрузке. Поскольку в цепи постоянного тока включен реактор большой индуктивности, разрыв этой цепи недопустим по условиям правил коммутации цепей с индуктивностью. В этом случае задача создания нулевой паузы в токе нагрузки может быть решена переводом в проводящее состояние ключей одного плача, например $VT1, VT4$ или $VT2, VT3$, при размыкании ключей другого плача. Постоянный ток будет шунтирован этими ключами и протекать в них, минуя цепь нагрузки. На рис. 7.16, г приведена диаграмма выходного тока i_H , длительность полуволн которого менее половины периода π , полученных при реализации алгоритма формирования импульсов управления $i_{y1}—i_{y4}$. Из диаграммы формирования нулевой паузы тока видно, что ее длительность, равная углу α , может изменяться

системой управления. Регулирование тока нагрузки обеспечивается изменением величины фазового сдвига между импульсами управления, поступающими на транзисторы противоположных плеч моста ($VT1$, $VT2$ и $VT3$, $VT4$).

Нулевые паузы тока образуются, когда проводят ток транзисторы одного плеча ($VT1$, $VT4$ или $VT2$, $VT3$), которые шунтируют источник тока I_d .

Рассмотренный алгоритм управления позволяет работать не только на активную нагрузку без подключения на выходе конденсатора, но и на активно-индуктивную нагрузку. Однако на интервалах коммутации ключей энергия, запасенная в индуктивностях нагрузки, вызывает перенапряжения со стороны цепей нагрузки. Для ограничения этих перенапряжений на выходе инвертора подключают конденсаторы, поглощающие энергию индуктивностей. Поскольку нагрузка, как правило, носит активно-индуктивный характер, такие конденсаторы входят в состав инвертора. Емкость конденсаторов определяется параметрами нагрузки, на которую расчетан инвертор.

Из характера процессов инвертора тока, работающего на емкостную нагрузку, видно, что в качестве ключей силовой схемы могут быть использованы обычные тиристоры. Емкостной характер нагрузки позволяет осуществлять их принудительную коммутацию за счет энергии, накопленной в конденсаторе. В этом случае емкость выходного конденсатора должна во всех режимах обеспечить полную компенсацию индуктивной составляющей нагрузки. В рассматриваемом варианте тиристорные ключи являются некоторым аналогом полностью управляемых ключей, так как их выключение осуществляется принудительно под воздействием емкостной нагрузки. Эти свойства рассматриваемой схемы были положены в основу первых автономных инверторов, в которых в качестве ключей использовались ртутные вентили, условия выключения которых аналогичны условиям работы тиристоров. Конденсаторы в таких инверторах обычно входят в состав их схемы и могут быть подключены к нагрузке не только параллельно, но и последовательно (последовательный инвертор) или параллельно-последовательно (параллельно-последовательный инвертор).

7.3.2. Автономный инвертор тока на обычных тиристорах

Параллельный инвертор тока. Рассмотрим более подробно однофазный инвертор на обычных, не полностью управляемых, тиристорах с параллельно включенными конденсаторами (рис. 7.17, а). Будем считать, что напряжение на нагрузке, благодаря включению на выходе фильтров высших гармоник, синусоидальное.

Предположим, что на интервале от 0 до π тиристоры $VS1$ и $VS2$ находятся в проводящем состоянии. В момент времени $\theta = \pi$ на тиристоры $VS3$ и $VS4$ поступают импульсы управления от системы управления инвертором. При этом напряжение на нагрузке (точка m на рис. 7.17, б) равно $U_m \sin \beta$, где β — угол сдвига между синусоидами первых гармоник выходного напряжения U_{h1} и выходного тока I_{h1} инвертора. Для тиристоров $VS3$ и $VS4$ выходное напряжение является пря-

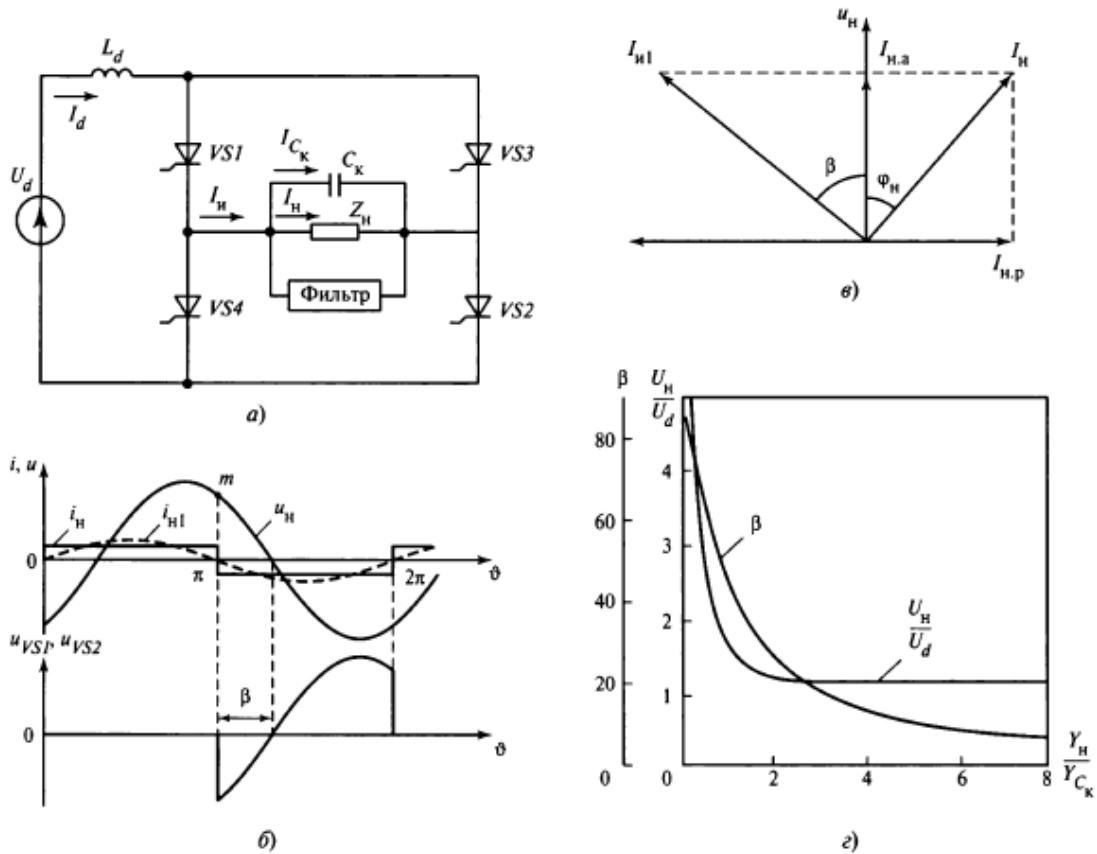


Рис. 7.17. Параллельный инвертор тока:

а — схема; б — диаграммы тока и напряжения на элементах схемы; в — векторная диаграмма первых гармоник напряжения и тока на выходе инвертора; г — зависимость выходного напряжения и угла β от нагрузки

мым. Тиристоры включаются и цепь нагрузки оказывается замкнутой накоротко через все открытые тиристоры схемы. В результате этого возникает разряд коммутирующего конденсатора C_k . Разрядный ток распределяется по двум контурам. В одном контуре он направлен навстречу току в тиристоре $VS1$, а в другом — навстречу току в тиристоре $VS2$. Когда токи этих тиристоров станут равными нулю, они выключатся, т.е. завершится процесс коммутации тиристоров. Поскольку в контурах разряда конденсаторов отсутствуют индуктивности, этот процесс можно считать мгновенным ($\gamma = 0$).

После выключения тиристоров $VS1$ и $VS2$ ток проходит в тиристорах $VS3$ и $VS4$, вследствие чего направление тока нагрузки изменяется скачком. Напряжение u_H в момент коммутации не изменяется из-за наличия в схеме конденсатора C_k . К тиристорам $VS1$ и $VS2$ скачком прикладывается обратное напряжение, и они

восстанавливают запирающие свойства. Для коммутации необходимо, чтобы выполнялось условие

$$\beta \geq \omega t_{\text{выкл}}, \quad (7.27)$$

где ω — угловая частота выходного напряжения; $t_{\text{выкл}}$ — время выключения тиристоров. В противном случае после прохождения напряжения u_h через нуль произойдет повторное включение тиристоров $VS1$ и $VS2$, так как на них будет подано прямое напряжение раньше, чем они успеют восстановить запирающую способность. В результате этого возникнет аварийный режим, когда во включенном состоянии будут находиться одновременно все тиристоры. Для обеспечения условия (7.27) необходимо, чтобы нагрузка, включая C_k , имела емкостной характер и ток I_h опережал напряжение U_h .

Так как индуктивность сглаживающего реактора принята достаточно большой ($\omega L_d = \infty$), ток I_d в инверторе идеально сглажен и импульсы выходного тока i_h имеют прямоугольную форму (рис. 7.17, б). Однако при анализе методом «основной гармоники» учитывается только первая гармоника этого тока (на рис. 7.17, б показана штриховой линией). Высшие гармоники этого тока полагаются отфильтрованными конденсатором C_k и фильтром на выходе инвертора в соответствии с принятым допущением о синусоидальности выходного напряжения. Первая гармоника инвертируемого тока I_{h1} распределяется между конденсатором C_k (составляющая тока конденсатора I_{Ck1}) и нагрузкой (составляющая тока инвертора I_{h1}).

На рис. 7.17, в представлена векторная диаграмма первых гармоник напряжения U_{h1} и тока I_{h1} на выходе инвертора при активно-индуктивной нагрузке I_h , из которой видно, что угол β имеет положительное значение при условии, что емкостной ток I_{C1} больше реактивной составляющей тока нагрузки I_h . Активная составляющая тока нагрузки показана на диаграмме рис. 7.17, в.

Используя известные в электротехнике соотношения и векторную диаграмму на рис. 7.17, в, угол β можно выразить следующим образом:

$$\operatorname{tg} \beta = \frac{Y_C}{Y_h \cos \phi_h} - \operatorname{tg} \phi_h, \quad (7.28)$$

где $Y_C = \omega C_k$ — модуль проводимости конденсатора C_k на частоте основной гармоники ω_1 ; Y_h — модуль проводимости нагрузки на частоте основной гармоники; ϕ_h — угол сдвига фаз между напряжением и током.

Напряжение на нагрузке и необходимую емкость C_k удобно представить в виде функций параметров нагрузки, полученных из баланса активной и реактивной мощности:

$$\left. \begin{aligned} P_h &= U_d I_d = U_h I_h \cos \phi_h; \\ Q_h &= P_h \operatorname{tg} \phi_h; \\ Q_h &= Q_C - Q_h = U_h^2 \omega C_k - P_h \operatorname{tg} \phi_h, \end{aligned} \right\} \quad (7.29)$$

где P_H — активная мощность нагрузки; Q_C — реактивная мощность конденсатора; Q_H — реактивная мощность нагрузки; Q_u — реактивная мощность, потребляемая инвертором.

Из соотношений (7.29) видно, что реактивная мощность, потребляемая инвертором, равна разности мощностей конденсатора C_k и реактивной (индуктивной) мощности нагрузки. Иначе говоря, рассматриваемый тип инвертора работает при условии полной компенсации индуктивной составляющей нагрузки. Поэтому конденсатор C_k в схемах подобного типа инверторов называют иногда компенсирующим.

Так как в рассматриваемом случае учитывается только первая (основная) гармоника выходного напряжения, то действующее значение напряжения можно выразить соотношением, используемым при анализе инверторов, ведомых сетью:

$$U_H = \frac{\pi}{2\sqrt{2}} \frac{U_d}{\cos \beta}. \quad (7.30)$$

Учитывая (7.28), соотношение (7.30) можно записать в следующем виде:

$$U_H = \frac{\pi U_d}{2\sqrt{2}} \sqrt{1 + \left(\frac{\omega C_k}{Y_H \cos \phi_H} - \operatorname{tg} \phi_H \right)^2} \quad (7.31)$$

Зависимость (7.31) является внешней характеристикой инвертора, только в качестве переменного параметра в ней фигурирует не ток, а проводимость нагрузки Y_H .

Необходимая емкость C_k как функция параметров нагрузки в соответствии с (7.29) и (7.31) может быть вычислена по формуле

$$C_k = \frac{P_H (\operatorname{tg} \beta + \operatorname{tg} \phi_H)}{\omega U_H^2}. \quad (7.32)$$

Согласно (7.28) и (7.31) угол β и выходное напряжение являются функциями параметров нагрузки и емкости конденсатора C_k . На рис. 7.17, г представлена графическая интерпретация этих зависимостей, из которых видно, что внешняя характеристика параллельного инвертора имеет круто падающий характер. При увеличении нагрузки (т.е. с увеличением проводимости Y_H) значение угла β уменьшается.

Режим работы тиристоров характеризуется следующими соотношениями.

1. Максимальные значения прямого и обратного напряжения на тиристорах:

$$\left. \begin{aligned} U_{F \max} &= \sqrt{2} U_H; \\ U_{R \max} &= \sqrt{2} U_H \sin \beta. \end{aligned} \right\} \quad (7.33)$$

2. Максимальное I_{\max} , среднее I_{TAV} и действующее I_{RMS} значения тока тиристоров:

$$\left. \begin{aligned} I_{\max} &= I_d = \frac{P_d}{U_d}; \\ I_{TAV} &= \frac{I_d}{2} = \frac{P_d}{2U_d}; \\ I_{RMS} &= \frac{I_d}{\sqrt{2}} = \frac{P_d}{\sqrt{2} U_d}. \end{aligned} \right\} \quad (7.34)$$

Если на выходе инвертора установлен трансформатор, то при расчетах необходимо учитывать коэффициент трансформации, связывающий напряжение на выходе инвертора и напряжение на нагрузке.

Инвертор тока с «отсекающими» диодами. В рассмотренных схемах коммутирующие конденсаторы обеспечивают емкостной характер нагрузки на стороне переменного тока. Значение емкости конденсаторов можно уменьшить включением в схему «отсекающих» диодов (рис. 7.18).

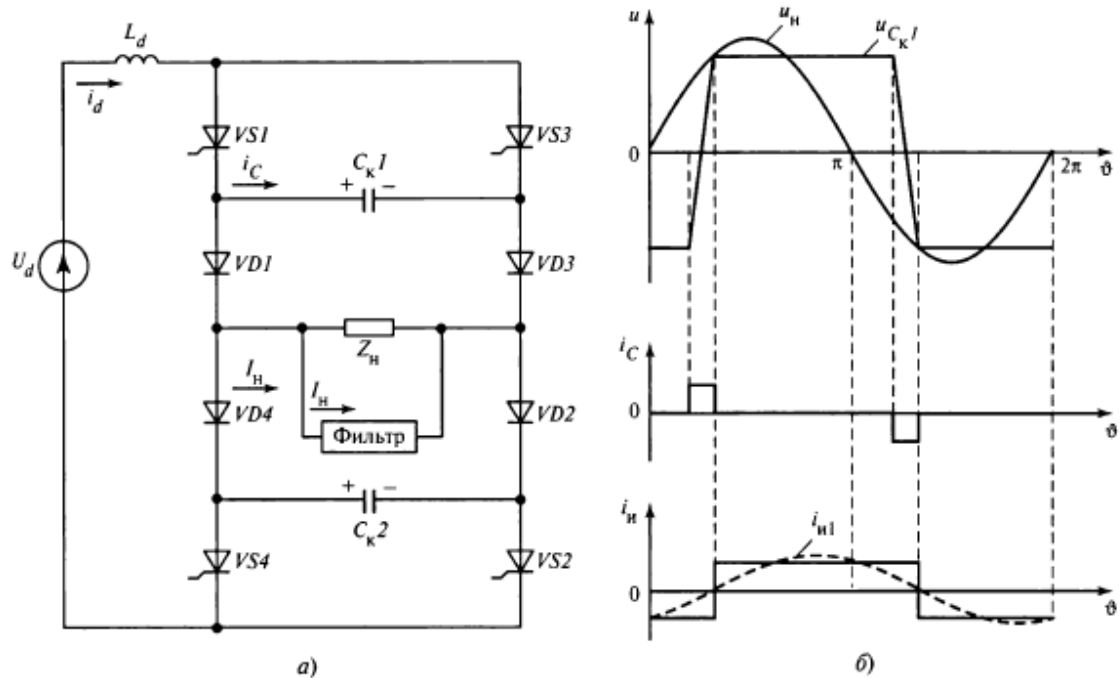


Рис. 7.18. Инвертор тока с «отсекающими» диодами:
а — схема; б — диаграммы напряжения и тока на элементах схемы

Предположим, что в проводящем состоянии находятся тиристоры $VS1$, $VS2$ и диоды $VD1$, $VD2$, конденсаторы заряжены с полярностью, указанной на рисунке. В этом случае ток протекает только через нагрузку, а конденсаторы, находясь в заряженном состоянии, «отсечены» от нагрузки диодами $VD3$, $VD4$. При подаче импульсов управления на тиристоры $VS3$, $VS4$ под воздействием разрядного тока коммутирующих конденсаторов C_{k1} и C_{k2} происходит процесс коммутации. Тиристоры $VS1$, $VS2$ выключаются, и ток I_d протекает по цепи тиристор $VS3$ — конденсатор C_{k1} — диод $VD1$ — нагрузка Z_h — диод $VD2$ — конденсатор C_{k2} — тиристор $VS4$. Ток I_d перезаряжает конденсаторы C_{k1} , C_{k2} , и, когда напряжение на них изменит знак и достигнет значения равного выходному напряжению, диоды $VD1$, $VD2$ выключатся и ток будут проводить диоды $VD3$, $VD4$. В этот момент времени ток в нагрузке изменится. Далее аналогичные процессы периодически повторяются. На рис. 7.18, б представлены диаграммы изменения напряжения и тока на коммутирующих конденсаторах.

Инверторы, выполненные на основе этой схемы, применяются для питания двигательной нагрузки, носящей индуктивный характер. При неучете коммутационных процессов действующее значение первой гармоники выходного напряжения будет равно

$$U_{h1} = \frac{\pi}{2\sqrt{2}} \frac{U_d}{\cos \phi_h}, \quad (7.35)$$

где ϕ_h — угол сдвига между первыми гармониками выходного напряжения и инвертируемого тока.

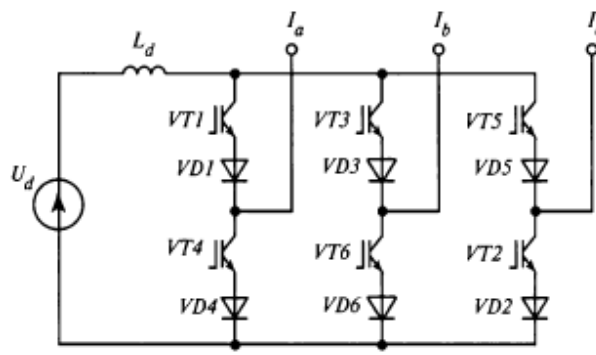
В рассматриваемой схеме конденсаторы участвуют только в коммутационных процессах. Поэтому их емкость определяется временем выключения тиристоров $t_{выкл}$, значением коммутируемого тока и напряжением на них $U_C \approx \sqrt{2}U_h \sin \phi_h$:

$$C_{k1} = C_{k2} \geq \frac{I_d t_q}{2U_C}. \quad (7.36)$$

Время выключения тиристоров $t_{выкл}$ будет соответствовать времени спада напряжения на конденсаторах до нуля при их перезаряде.

7.3.3. Трехфазный инвертор тока

На рис. 7.19 представлены трехфазная схема инвертора тока на транзисторах и диаграммы импульсов управления. Поскольку нагрузка схемы активная, конденсаторы на выходе не подключаются. Как и в однофазной схеме, ключевые элементы выполнены на основе транзисторов с последовательно включенными диодами и обладают односторонней проводимостью. В каждый момент времени



a)

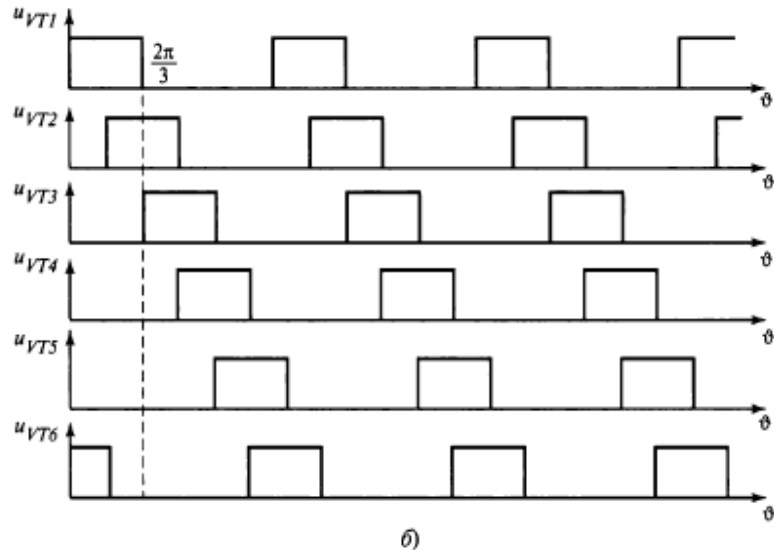


Рис. 7.19. Трехфазный инвертор тока:
а — схема; *б* — диаграммы импульсов управления

при заданном алгоритме формирования импульсов в проводящем состоянии находятся два транзистора: один из группы с общим коллектором, а другой из группы с общим эмиттером (из разных плеч моста). Коммутация транзисторов происходит через интервал, равный $\pi/3$, так что в проводящем состоянии каждый транзистор находится в течение времени, соответствующем $2\pi/3$, при угловой частоте его импульсов управления ω , формируемых системой управления. В результате на выходе инвертора в каждой фазе формируется система трехфазных токов прямого

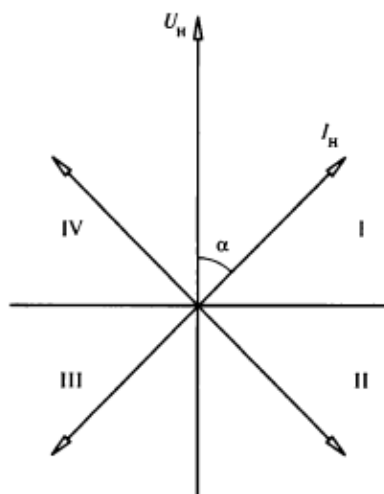


Рис. 7.20. Векторные диаграммы преобразователя постоянного/переменного тока, работающего в четырех квадрантах

угольной формы, длительность полуволны которых составляет $2\pi/3$.

Если нагрузка носит активно-индуктивный характер, то к выходу инвертора должны быть подключены конденсаторы (по схеме звезда или треугольник) для исключения перенапряжений на выходе инвертора. Очевидно, что в качестве полностью управляемых ключей могут быть использованы запираемые тиристоры. Из рис. 7.19 видно, что схема инвертора на полностью управляемых ключах идентична схеме преобразователя переменного/постоянного тока, выполненного на обычных тиристорах. Различаются эти схемы управляемостью ключей.

Если преобразователь на обычных тиристорах с сетевой коммутацией при подключении к сети переменного тока может работать только в двух квадрантах: I — выпрямительном и II — инверторном, то преобразователь на полностью управляемых ключах может работать в четырех квадрантах, что принципиально изменяет возможности потребления или генерации из сети реактивной мощности преобразователей переменного/постоянного тока. На рис. 7.20 представлена векторная диаграмма, иллюстрирующая работу однофазного преобразователя переменного/постоянного тока со свойствами источника тока. Эти свойства проявляются в результате применения полностью управляемых ключей в инверторах тока. Таким образом получают традиционную схему преобразователя, ведомого сетью, в которой обычные тиристоры заменены транзисторами с последовательно включенными диодами, блокирующими подачу обратного напряжения на транзисторах. Согласно этой диаграмме, в квадрантах I и II преобразователь работает в режиме выпрямления и инвертирования с потреблением реактивной мощности из сети, а в квадрантах III и IV — с генерацией реактивной мощности. В общем случае источник сети должен обеспечивать как генерацию реактивной мощности (функция конденсатора), так и ее потребление (функция реактора).

Применение полностью управляемых ключей позволяет реализовать работу в четырех квадрантах инверторов напряжения. Следует отметить, что как в однофазном инверторе тока, так и в трехфазном возможна импульсная модуляция тока за счет управляемых ключей, формирующих интервал с нулевым током (см. рис. 7.16, г). Это во многом объединяет возможности инверторов тока с инверторами напряжения.

Среди основных преимуществ инверторов тока следует отметить ограничение скорости тока индуктивностью реактора в аварийных режимах. С другой стороны, этот фактор отрицательно сказывается на быстродействии инверторов в динамических режимах, связанных с изменением нагрузки.